

# ДИПЛОМ

Федоров Глеб, 125

21 декабря 2014 г.

## Содержание

<b>Введение</b>	<b>2</b>
<b>I Теоретические сведения</b>	<b>4</b>
1 Явление сверхпроводимости	4
2 Эффект Джозефсона	5
2.1 Уравнения Джозефсона . . . . .	5
2.2 RCSJ-модель . . . . .	5
2.3 Фазо-потокковое соотношение . . . . .	6
3 Теория изолированного Flux-кубита	7
3.1 Построение гамильтониана . . . . .	8
3.2 Квантово-механический анализ . . . . .	9
<b>II Экспериментальная часть</b>	<b>14</b>
<b>III Результаты</b>	<b>14</b>
<b>IV Заключение</b>	<b>14</b>

# Введение

Квантовый компьютер – это устройство, хранящее и обрабатывающее информацию в группе квантовых систем, причем обработка информации происходит в результате когерентных взаимодействий систем внутри группы.<sup>1</sup> Каждая квантовая система, как правило, является двухуровневой и носит название “квантовый бит” или “кубит” (англ. “qubit” – quantum bit). Для осуществления квантового расчета необходимо уметь реализовывать связь между кубитами, управлять состоянием кубитов, сохраняя его чистоту, определять состояние каждого из кубитов в группе и, наконец, изолировать кубиты от окружающей среды, следовательно, в качестве кубитов могут быть использованы любые достаточно изолированные двухуровневые системы, поддающиеся контролю и способные взаимодействовать друг с другом.<sup>2-4</sup> В качестве примера можно привести фотоны,<sup>5</sup> ионы в ионных ловушках,<sup>6</sup> ядерные спины,<sup>7</sup> атомы в электромагнитных резонаторах,<sup>8</sup> электрические системы<sup>9</sup> и т.п.

Последние являются одними из самых заманчивых кандидатов на эту роль, если только окажутся подчинены квантовой механике.<sup>10</sup> К счастью, явление сверхпроводимости и эффект Джозефсона позволяют наблюдать квантовые эффекты в контурах даже мезоскопического масштаба и создавать так называемые сверхпроводящие (джозефсоновские) кубиты.<sup>11</sup> В данной работе проводится исследование одного из них – потокового сверхпроводящего кубита (впервые предложен в статье<sup>12</sup> и назван Flux-кубитом).

Джозефсоновские кубиты имеют два значительных недостатка и одно значительное преимущество в сравнении с микроскопическими кубитами. Первый недостаток касается шума и нарушения чистоты состояния – в силу больших размеров, джозефсоновские кубиты сильнее связываются со средой, что требует дополнительных изысканий в области их изоляции; второй недостаток заключается в том, что в то время как микроскопические кубиты, например, атомы, идентичны друг другу, сверхпроводящие кубиты могут иметь отличия из-за неточностей производства. Для борьбы с этим требуется либо создавать заведомо нечувствительные к дефектам схемы, либо проводить калибровку, в процессе которой параметры цепей измеряются и компенсируются.

Преимущество джозефсоновских кубитов в их гибкости: они могут быть произвольным образом расположены относительно друг друга, а их параметры легко и непрерывно изменяемы в широких пределах. Эта гибкость вместе с некоторыми фундаментальными эффектами<sup>13</sup> может быть использована для борьбы с первым недостатком, а также предоставляет много вариантов для подстройки параметров, что в значительной степени нивелирует второй недостаток. Далее, накопленный опыт человечества в области изготовления интегральных схем позволит упростить переход к производству реальных устройств, что является очевидным преимуществом в сравнении с другими типами кубитов. Таким образом, скорее всего именно джозефсоновские кубиты и будут применены в первом квантовом компьютере, и именно их следует изучать.

Важно отметить, что сверхпроводящие кубиты могут применяться не только для непосредственного использования в квантовом компьютере, так как по сути являются рукотворными атомами. Они могут быть пригодны для создания метаматериалов,<sup>14</sup>

проведения высокоточных измерений полей,<sup>15</sup> использоваться в качестве активной среды,<sup>16</sup> для квантовой криптографии и телепортации<sup>17</sup> и т.п.

## Часть I

# Теоретические сведения

Данный раздел содержит теоретическое описание явлений, наблюдаемых в экспериментальной части работы. Далее будут кратко рассмотрена теория сверхпроводимости, эффект Джозефсона, затем произведено рассмотрение теории изолированного Flux-кубита, теории его взаимодействия с окружающей средой и, наконец, вопросы измерения и контроля.

## 1 Явление сверхпроводимости

Сверхпроводимость – это сложное коллективное явление, свойство некоторых материалов обладать строго нулевым электрическим сопротивлением при достижении ими температуры ниже определенного значения. В настоящий момент доминирующей теорией сверхпроводимости является теория БКШ,<sup>18</sup> согласно которой электроны в сверхпроводнике при переходе через критическую температуру объединяются в так называемые куперовские пары и претерпевают бозе-конденсацию. Спаривание электронов происходит в результате взаимодействия через фононы, приводящего к эффективному притяжению между ними и образованию связанного состояния на уровне Ферми, отделенного от уровней квазичастичных возбуждений энергетической щелью. Полное описание данного эффекта в рамках микроскопической теории невозможно в данной работе, поэтому мы будем далее пользоваться феноменологической теорией Гинзбурга-Ландау.<sup>19</sup> Сверхпроводящее состояние в рамках этой теории может быть описано параметром порядка или, иначе, модулем так называемой "макроскопической волновой функции куперовских пар":

$$\Psi(\mathbf{r}) = \sqrt{\frac{n_s}{2}} e^{i\theta(\mathbf{r})}, \quad (1.1)$$

где  $n_s$  – концентрация сверхпроводящих электронов в сверхпроводнике. Важно подчеркнуть, что она не является настоящей волновой функцией, но тем не менее позволяет получить практически важные результаты. Мы далее считаем, что в изолированном невозмущенном поле сверхпроводнике и модуль, и фаза волновой функции (1.1) постоянны.

Из минимизации функционала Гинзбурга-Ландау и одного из уравнений Максвелла можно получить следующее уравнение для сверхпроводящего тока куперовских пар в зависимости от приложенного поля, являющееся обобщением уравнения Лондонов:

$$\mathbf{j}_s = -\frac{i\hbar e}{2m_e}(\Psi^*\nabla\Psi - \Psi\nabla\Psi^*) - \frac{2e^2}{m_e}\mathbf{A}|\Psi|^2. \quad (1.2)$$

Подставляя сюда  $\Psi(\mathbf{r})$  из определения (1.1), получим:

$$\mathbf{j}_s = \frac{1}{\Lambda} \left( \frac{\Phi_0}{2\pi} \nabla\theta(\mathbf{r}) - \mathbf{A} \right), \quad (1.3)$$

где  $\Lambda = \frac{m_e}{n_s e^2}$ ,  $\Phi_0 = \frac{h}{2e}$ . Вторая константа, как будет показано далее, является *квантом магнитного потока*, и имеет важное значение в данной работе.

## 2 Эффект Джозефсона

### 2.1 Уравнения Джозефсона

Эффект Джозефсона<sup>20</sup> – это эффект установления одной макроскопической фазы в двух сверхпроводниках, соединенных через так называемую “слабую связь”. Слабые связи многообразны: это могут быть тонкие слои диэлектрика, сужения, точечные контакты, прослойки из металла в нормальном состоянии или из ферромагнетика. В случае, если фазы не равны, то через слабую связь будет течь бездиссипативный ток, и будет выполнено некоторое *фазо-токовое соотношение* между током и скачком фазы на переходе. Часто, хотя и не всегда,<sup>21</sup> оно оказывается синусоидальным:

$$I_s = I_c \sin(\theta_2 - \theta_1) = I_c \sin \varphi. \quad (2.1)$$

Из этой формулы видно, что сверхпроводящий ток  $I_s$  не может превысить некоторого значения  $I_c$ . Это так называемый *критический ток* джозефсоновского перехода, при превышении которого бездиссипативность нарушается, и на переходе устанавливается напряжение  $V$ . В этом случае выполнено второе уравнение Джозефсона:

$$\hbar \frac{\partial \varphi}{\partial t} = 2eV, \quad (2.2)$$

и наблюдаются осцилляции разности фаз между сверхпроводниками. Величина критического тока рассчитывается из микроскопической теории, например, для перехода SIS верна формула Амбегаокара-Баратова:

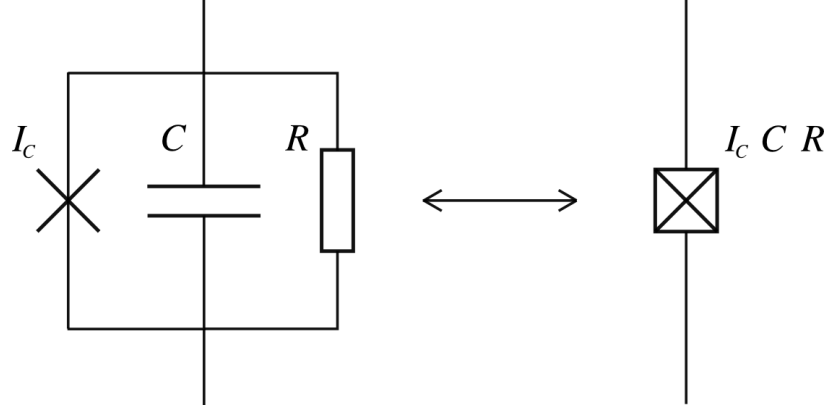
$$I_c = \frac{\pi \Delta(T)}{2eR_n} \operatorname{th} \left( \frac{\Delta(T)}{2k_b T} \right), \quad (2.3)$$

где через  $R_n$  обозначено сопротивление контакта в отсутствие сверхпроводимости,  $R_n = \rho \frac{d}{S}$ , где  $\rho$  – удельное сопротивление I-слоя, а  $d$  и  $S$  – его толщина и площадь.

### 2.2 RCSJ-модель

Для упрощения описания динамики джозефсоновского контакта применяется модель RCSJ (Resistively and Capacitively Shunted Junction), работающая для маленьких переходов со слоем изолятора, когда изменения фазы на размере контакта пренебрежимо малы и присутствует ненулевая геометрическая емкость.

Принципиальная схема изображена на Рис. 1. В случае, когда ток через систему не превышает критического  $I_c$ , резистор на схеме может быть опущен. В силу параллельности соединения выполнено также соотношение  $\frac{\hbar}{2e} \frac{\partial \varphi}{\partial t} = U_C$  между напряжениями



**Рис. 1:** Схема RCSJ в виде параллельного соединения идеального джозефсоновского перехода с конденсатором и резистором.

на переходе и на конденсаторе, которое устанавливает аналогию между неидеальным переходом и колебательным контуром с нелинейной индуктивностью.

В рамках RCSJ-модели энергия перехода состоит из энергии, запасенной в нелинейной индуктивности идеального перехода, и энергии конденсатора:

$$E = E_{ind} + E_{cap} \quad (2.4)$$

$$\begin{aligned} E_{ind} &= \int I_J V_J dt = I_c \frac{\hbar}{2e} \int_0^T \sin(\phi(t)) \frac{d\phi(t)}{dt} dt \\ &= E_J \int_0^\varphi \sin \phi d\phi = E_J [1 - \cos \varphi] \end{aligned} \quad (2.5)$$

$$E_{cap} = \frac{1}{2} C U_C^2 = \frac{1}{2} C \left( \frac{\Phi_0}{2\pi} \right)^2 \dot{\varphi}^2 = \frac{\hbar^2}{4E_C} \dot{\varphi}^2, \quad E_C = \frac{(2e)^2}{2C}. \quad (2.6)$$

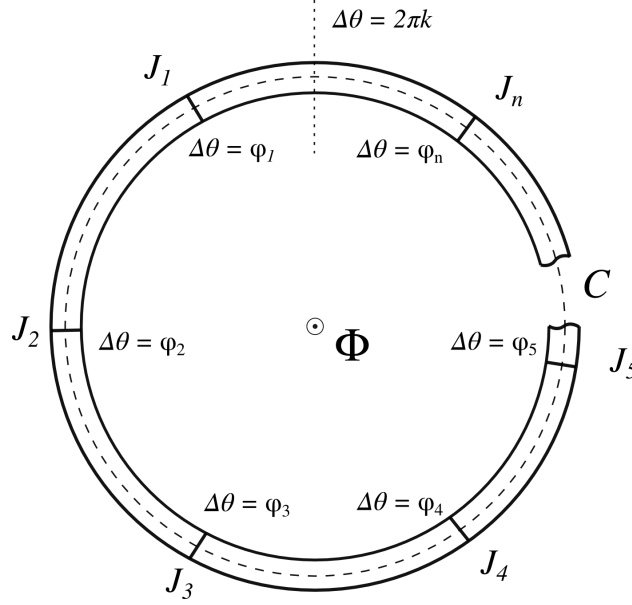
### 2.3 Фазо-потокковое соотношение

Рассмотрим замкнутый сверхпроводящее кольцо конечной толщины, быть может, прерванный конечным числом джозефсоновских переходов  $\{J_1 \dots J_n\}$ . Рассмотрим применительно к данному случаю уравнение (1.3). Проведем контур  $C$  внутри кольца так, чтобы он нигде не приближался к стенкам на расстояние, меньшее глубины проникновения магнитного поля (Рис. 2). Тогда сверхток на всей его длине будет равен нулю, и, проинтегрировав по нему (1.3), мы получим следующее равенство:

$$\oint_C \mathbf{A} d\mathbf{l} = \frac{\Phi_0}{2\pi} \oint_C \nabla \theta d\mathbf{l}.$$

Руководствуясь Рис. 2, соображениями однозначности волновой функции (1.1) при обходе вокруг контура и теоремой Стокса для  $\text{rot } \mathbf{A}$ , можем написать:

$$\begin{aligned}\Phi &= \frac{\Phi_0}{2\pi} \left( \sum_i \varphi_n + 2\pi k \right) \\ \sum_i \varphi_n &= 2\pi \left( \frac{\Phi}{\Phi_0} - k \right), \quad k \in \mathbb{Z}.\end{aligned}\tag{2.7}$$

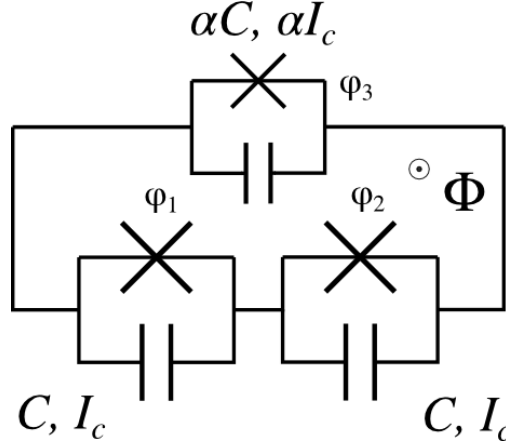


**Рис. 2:** К выводу фазо-потокowego соотношения. Пунктиром обозначен контур интегрирования  $C$ . Через  $\varphi_i$  обозначены скачки фаз на джозефсоновских контактах, а точками - место разрезанного накопления фазы при полном обходе вокруг кольца  $2\pi k$ ,  $k \in \mathbb{Z}$ .

Таким образом, получено фазо-потокowego соотношение. Видно, что в случае отсутствия в кольце джозефсоновских переходов полученное уравнение (2.7) описывает равенство магнитного потока  $\Phi$ , проходящего через сверхпроводящее кольцо, целому числу  $k$  квантов потока  $\Phi_0$ , обосновывая определение этой константы в (1.3).

### 3 Теория изолированного Flux-кубита

Flux-кубит, или потоковый трехконтактный сверхпроводящий кубит, был предложен впервые в 1999 году<sup>12</sup> и представляет собой сверхпроводящий контур, прерванный в трех местах джозефсоновскими переходами (Рис. 3), два из которых одинаковы, а третий отличается по площади в  $\alpha$  раз. Под *изолированным* в данном разделе понимается одиночный кубит, не взаимодействующий с окружением ни диссипативным, ни консервативным образом. Единственным внешним фактором является при таком рассмотрении постоянное магнитное поле, проходящее через контур.



**Рис. 3:** Принципиальная схема Flux-кубита в рамках RCSJ-модели. Два из трех переходов по площади одинаковы, площадь третьего по сравнению с ними в  $\alpha$  раз отличается (параметры отличаются в то же число раз согласно формулам для емкости конденсатора и (2.3)).  $\Phi$  – поток, пронизывающий контур. Резисторы не изображены, так как рабочий ток переходов меньше  $I_c$ .

### 3.1 Построение гамильтониана

Для того, чтобы провести квантово-механическое рассмотрение кубита, требуется записать его гамильтониан. Для этого прежде всего нужно понять, какими независимыми степенями свободы он обладает. Вообще говоря, состояние одиночного джозефсоновского перехода, в силу того, что в параллельном соединении RCSJ-модели  $U = \frac{\hbar}{2e} \dot{\varphi}$ , целиком описывается своей разностью фаз. Для трех невзаимодействующих переходов таких разностей будет три, и их и следует выбрать в качестве обобщенных координат системы. Однако в случае замкнутого контура дополнительно накладывается фазо-потокковое соотношение (2.7):

$$\varphi_1 + \varphi_2 + \varphi_3 = 2\pi \left( \frac{\Phi}{\Phi_0} - k \right), \quad k \in \mathbb{Z}. \quad (3.1)$$

Таким образом, в контуре на Рис. 3 остаются независимыми только две разности фаз из трех. Введя их в качестве обобщенных координат, можно понять, что является аналогом кинетической, а что – потенциальной энергии системы. В уравнениях (2.4)-(2.6) энергия перехода зависит непосредственно от  $\varphi$ , а емкостная от  $\dot{\varphi}$ . Таким образом, переход запасает потенциальную, а емкость кинетическую энергию. Энергия магнитного поля, возникающего при течении тока в кольце, считается малой в силу малости геометрической индуктивности кубита по сравнению с джозефсоновской индуктивностью переходов, а поток  $\Phi = \Phi_{ext}$  (подробное описание данной процедуры см. в статье<sup>22</sup>). Теперь можно записать лагранжиан системы, используя все те же уравнения (2.4)-(2.6) и выражая разность фаз  $\varphi_3$  отличающегося перехода через разности фаз  $\varphi_1$  и  $\varphi_2$  оди-



наковых переходов при помощи (3.1):

$$\begin{aligned}\mathcal{L} &= \mathcal{T} - \mathcal{U}, \\ \mathcal{T} = E_{cap} &= \frac{1}{2} \sum_{i=1}^3 C_i V_i^2 = \frac{1}{2} \left( \frac{\Phi_0}{2\pi} \right)^2 [C(\dot{\varphi}_1)^2 + \alpha C(\dot{\varphi}_1 + \dot{\varphi}_2)^2 + C(\dot{\varphi}_2)^2] \\ &= \frac{1}{2} \left( \frac{\Phi_0}{2\pi} \right)^2 (\dot{\varphi}_1 \quad \dot{\varphi}_2) C \begin{pmatrix} 1+\alpha & \alpha \\ \alpha & 1+\alpha \end{pmatrix} \begin{pmatrix} \dot{\varphi}_1 \\ \dot{\varphi}_2 \end{pmatrix}, \\ \mathcal{U} = E_{ind} &= E_J \left[ 2 + \alpha + \cos \varphi_1 + \cos \varphi_2 + \alpha \cos \left( 2\pi \frac{\Phi}{\Phi_0} - \varphi_1 - \varphi_2 \right) \right].\end{aligned}$$

Строить гамильтониан системы из такого лагранжиана не очень удобно, поэтому предварительно произведем замену координат  $\phi = \frac{\varphi_1 + \varphi_2}{2}$ ,  $\theta = \frac{\varphi_1 - \varphi_2}{2}$ :

$$\begin{aligned}\mathcal{T}^{\varphi_1, \varphi_2 \rightarrow \phi, \theta} &= C \left( \frac{\Phi_0}{2\pi} \right)^2 (\dot{\phi} \quad \dot{\theta}) \begin{pmatrix} 1+2\alpha & 0 \\ 0 & 1 \end{pmatrix} \begin{pmatrix} \dot{\phi} \\ \dot{\theta} \end{pmatrix}, \\ \mathcal{U}^{\varphi_1, \varphi_2 \rightarrow \phi, \theta} &= E_J \left[ 2 + \alpha - 2 \cos(\phi) \cos(\theta) - \alpha \cos \left( 2\pi \frac{\Phi}{\Phi_0} - 2\phi \right) \right].\end{aligned}\quad (3.2)$$

Теперь, стандартным образом вводя обобщенный импульс  $\mathbf{p}^T = (p_\phi \quad p_\theta) = \left( \frac{\partial \mathcal{L}}{\partial \dot{\phi}} \quad \frac{\partial \mathcal{L}}{\partial \dot{\theta}} \right)$  и производя преобразование Лежандра, получим итоговый гамильтониан системы:

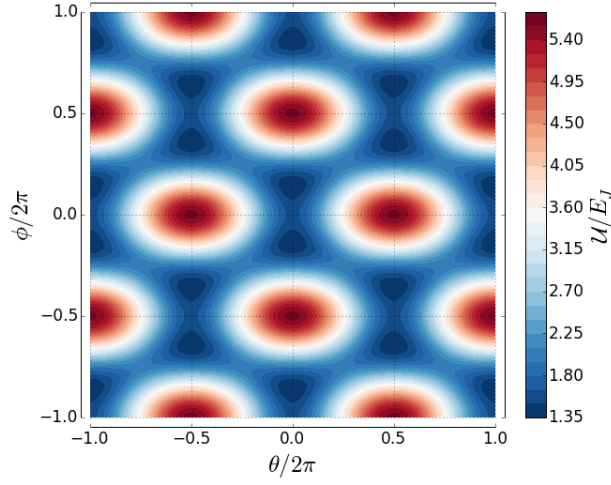
$$\begin{aligned}\mathcal{H} &= \frac{p_\phi^2}{2M_\phi} + \frac{p_\theta^2}{2M_\theta} + E_J \left[ 2 + \alpha - 2 \cos(\phi) \cos(\theta) - \alpha \cos \left( 2\pi \frac{\Phi}{\Phi_0} - 2\phi \right) \right], \\ M_\phi &= 2C \left( \frac{\Phi_0}{2\pi} \right)^2 (1 + 2\alpha), \quad M_\theta = 2C \left( \frac{\Phi_0}{2\pi} \right)^2.\end{aligned}$$

Далее, осуществляя переход к операторному виду квантовой механики, можно получить оператор Гамильтона для сверхпроводящего потокового кубита в терминах исключительно  $E_C$  и  $E_J$ :

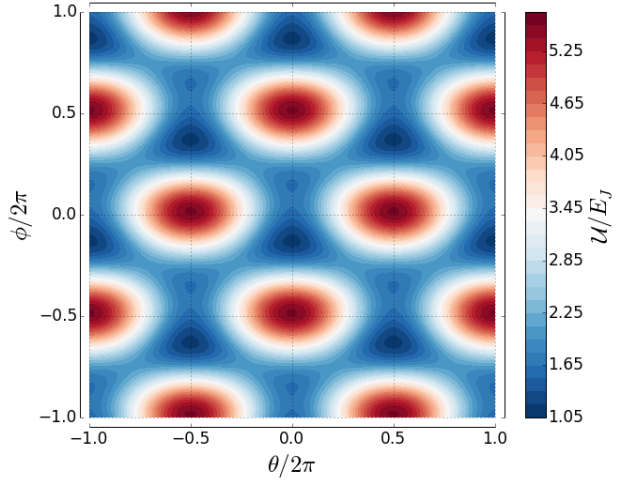
$$\hat{\mathcal{H}} = E_C \left[ -\frac{1}{2(1+2\alpha)} \frac{\partial^2}{\partial \phi^2} - \frac{1}{2} \frac{\partial^2}{\partial \theta^2} \right] + E_J \left[ 2 + \alpha - 2 \cos(\phi) \cos(\theta) - \alpha \cos \left( 2\pi \frac{\Phi}{\Phi_0} - 2\phi \right) \right]. \quad (3.3)$$

## 3.2 Квантово-механический анализ

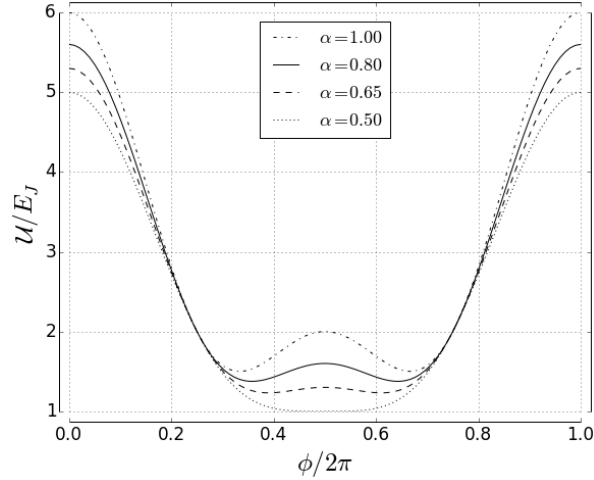
**Анализ потенциала.** Прежде всего рассмотрим потенциал  $\mathcal{U}(\phi, \theta)$ . На Рис. 4 представлены графики, демонстрирующие его структуру в случае  $\Phi = \Phi_0/2$ , или в так называемой *точке вырождения* по потоку. На Рис. 4 (а) можно видеть, что потенциал  $2\pi$ -периодичен по каждой из переменных  $\phi$  и  $\theta$  и представляет собой бесконечную решетку из симметричных двойных ям, отделенных друг от друга диагональными барьерами. Каждая их ям, в свою очередь, делится на две части меньшим барьером. Его высота, как видно из Рис. 4 (с), определяется параметром  $\alpha$ . Для того, чтобы структура оставалась



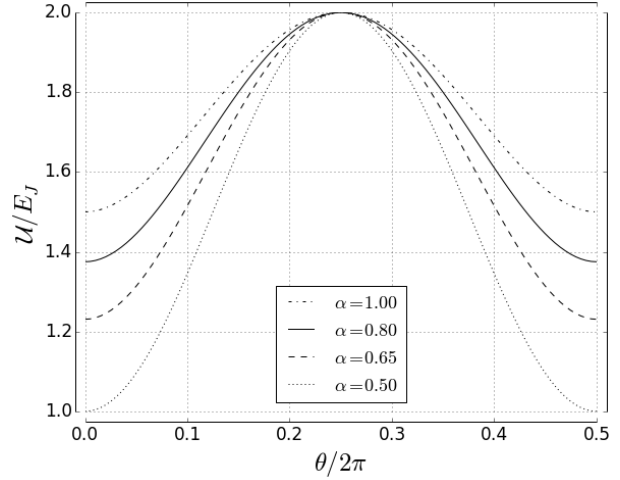
(a) Трехмерное изображение потенциала при  $\Phi = \Phi_0/2$ ,  $\alpha = 0.8$ . Можно видеть  $2\pi$ -периодическую решетку из двойных ям.



(b) При отклонении потока от  $\Phi_0/2$  появляется перекося внутри двойных ям, одна половина становится глубже, а другая мельче в зависимости от знака отклонения  $\Delta\Phi$ . Здесь  $\Delta\Phi = -0.05\Phi_0$ .



(c) Срез потенциала при  $\Phi = \Phi_0/2$  по направлению  $\theta = \pi$  (барьер внутри ям) в зависимости от  $\alpha$ . При  $\alpha = 0.5$  этот барьер пропадает, при  $\alpha = 1$  он сравнивается с барьером между ямами (см. (d)).



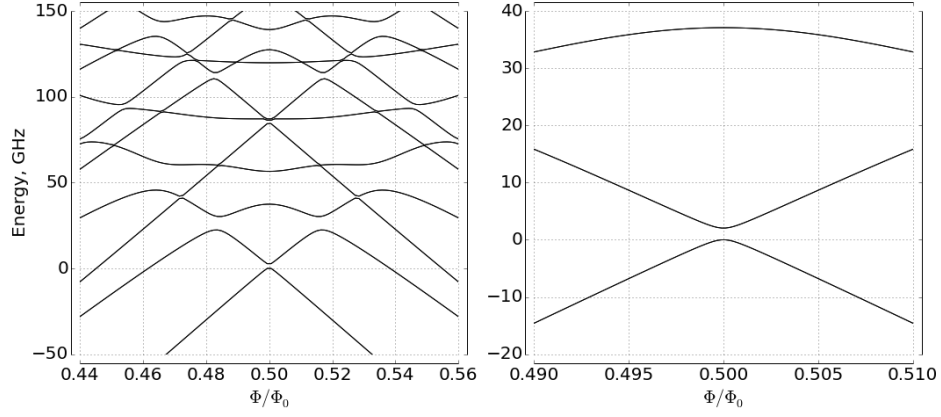
(d) Срез потенциала при  $\Phi = \Phi_0/2$  по направлению  $\phi = (1 - \frac{2}{\pi} \arccos \frac{1}{2\alpha})\theta + \arccos \frac{1}{2\alpha}$  (барьер между ямами) в зависимости от  $\alpha$ . Здесь крайние точки отвечают минимумам  $\mathcal{U}$  при  $\theta = 0$  ( $\pi$ ),  $\phi = \arccos \frac{1}{2\alpha}$  ( $\pi - \arccos \frac{1}{2\alpha}$ ).

**Рис. 4:** Графическое изображение периодического потенциала Флюкс-кубита в зависимости от относительного размера отличающегося перехода  $\alpha$  и пронизывающего потока  $\Phi$ .

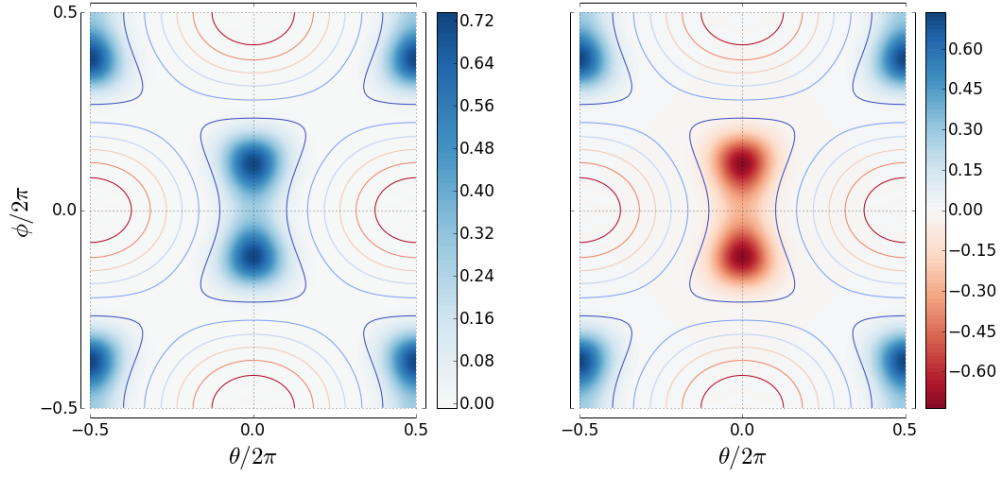
подобной изображенной на Рис. 4 (а), требуется, чтобы  $\alpha \in (0.5, 1)$ : при нарушении этого условия либо совсем пропадает внутренний барьер, либо внешний барьер сравнивается с внутренним по высоте, и ямы перестают быть качественно отделены друг от друга (Рис. 4 (d)). Минимумы  $\mathcal{U}$  находятся в точках  $\theta = \pi k$ ,  $\phi = \pm \arccos \frac{1}{2\alpha} + \pi n$ ,  $k, n \in \mathbb{Z}$ , причем в точке вырождения все минимумы имеют одинаковую энергию, а при отходе от нее в зависимости от знака отклонения одна половина двойных ям становится мельче, а другая глубже, и вырождение внутри каждой ямы снимается (Рис. 4 (b)).

**Стационарные состояния.** Прежде, чем начинать поиск стационарных состояний для гамильтониана (3.3), важно не упустить одну особенность. Строго говоря, в силу того, что потенциал (3.2) является периодическим, решениями уравнения Шредингера будут являться *блховские функции*, а спектр энергий будет иметь зонную структуру. Таким образом, как это ни удивительно, один Flux-кубит представляет собой модель частицы в идеальной периодической решетке двумерного твердого тела. Однако в случае, когда  $E_J \gg E_C$ , можно использовать модель сильной связи (о чем говорится и в оригинальной статье<sup>12</sup>). Основное соображение состоит в том, что пока волновая функция сильно локализована в ямах, можно считать спектр энергий дискретным для нижних уровней и применять метод сведения задачи к задаче на собственные значения матрицы.

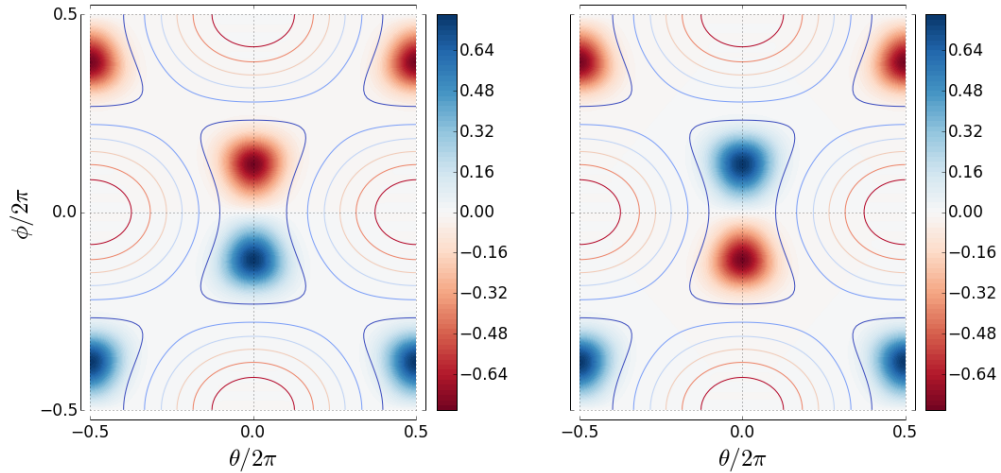
Для нахождения стационарных состояний гамильтониана (3.3) может быть применен метод, изложенный в работе.<sup>23</sup> Используя периодичность, можно разложить в ряд Фурье и потенциал, и искомую волновую функцию, ограничиваясь  $2N + 1$  начальными слагаемыми в разложении, и подставить их в уравнение Шредингера с гамильтонианом (3.3), что после определенных преобразований сведет задачу к поиску собственных значений и векторов матрицы  $(2N + 1)^2$  на  $(2N + 1)^2$ . Результаты такого вычисления для  $N = 20$  представлены на Рис. 5. Спектр энергий состоит из дублетов (на рисунке они сливаются в синглеты), причем расщепление в дублетах обусловлено разными периодическими конфигурациями волновой функции при фиксированной четности ее внутри ям, а расстояния между дублетами изменением четности внутри ям. Можно провести прямую аналогию с одномерным случаем, когда номер уровня совпадал с числом нулей волновой функции. Также это можно объяснить с позиции туннелирования через внутриямный барьер (большие разности энергий) и через межъямный (дублеты),<sup>22</sup> хотя это объяснение довольно туманно. В зависимости от поля спектр ведет себя, как показано на Рис. 5 (а), неравномерно: в окрестности  $\Phi_0/2$  четные пары уровней сдвигаются вниз, нечетные вверх, а на большем удалении магнитного потока от полкванта картина вообще теряет порядок из-за значительного числа квазипересечений. На Рис. 5 (b) и (c) изображены соответственно нулевое и первое дублетные состояния в точке вырождения. Видно, что четные конфигурации волновой функции имеют меньшую энергию, а нечетные большую. Далее мы будем пренебрегать тем, что первые четыре состояния являются дублетами, так как расщепления внутри них примерно в  $10^5$  раз меньше, чем расстояния между ними, и назовем верхнюю по энергии пару “ $|e\rangle$ -состоянием”, а нижнюю “ $|g\rangle$ -состоянием”.



(а) Уровни энергии в зависимости от внешнего поля. Каждая линия на рисунке на самом деле является двойной.



(б) Волновые функции нулевого и первого уровней энергии (“ $|g\rangle$ -состояние” в точке вырождения). Внутри ям волновая функция четная.



(с) Волновые функции второго и третьего уровней энергии (“ $|e\rangle$ -состояние” в точке вырождения). Внутри ям волновая функция нечетная.

**Рис. 5:** Результаты численного решения стационарного уравнения Шредингера с параметрами  $\alpha = 0.7$ ,  $E_J = 30E_C = 400$  GHz. Цветом обозначено значение волновой функции, нормированной на единицу в периоде потенциала.

**Двухуровневое приближение.** Следующим шагом будет приведение системы к двум нижним состояниям, пренебрегая всеми остальными. Это оправданно, так как третий дублет в точке вырождения лежит гораздо выше (почти в 20 раз) по энергии, чем состояние  $|e\rangle$ . Так же одновременно с этим мы явно выделим в гамильтониане член, отвечающий воздействию отклонения потока от полкванта, разложив в ряд Тейлора последнее слагаемое в потенциале. Это также оправданно потому, что, как видно из Рис. 5 (а), для большого изменения расстояния между уровнями годится даже малое отклонение от  $\Phi_0/2$ . Итак, записываем разложение потенциала и полный гамильтониан в матричной форме (в базисе из состояний  $|g\rangle$  и  $|e\rangle$  в точке вырождения):

$$\begin{aligned}\hat{U} &= E_J \left[ 2 + \alpha - 2 \cos(\phi) \cos(\theta) - \alpha \cos \left( 2\pi \frac{\Phi_0/2 + \delta\Phi}{\Phi_0} - 2\phi \right) \right] = \\ &= E_J [2 + \alpha - 2 \cos(\phi) \cos(\theta) - \alpha \cos(\pi - 2\phi)] + \alpha E_J \sin(\pi - 2\phi) 2\pi \frac{\delta\Phi}{\Phi_0} + \mathcal{O}(\delta\Phi^2), \\ \begin{pmatrix} \mathcal{H}_{11} & \mathcal{H}_{12} \\ \mathcal{H}_{21} & \mathcal{H}_{22} \end{pmatrix} &= \hat{\mathcal{T}} + \hat{U} + \alpha E_J \begin{pmatrix} \langle 0 | \sin(\pi - 2\phi) | 0 \rangle & \langle 0 | \sin(\pi - 2\phi) | 1 \rangle \\ \langle 1 | \sin(\pi - 2\phi) | 0 \rangle & \langle 1 | \sin(\pi - 2\phi) | 1 \rangle \end{pmatrix} 2\pi \frac{\delta\Phi}{\Phi_0} = \\ &= \frac{\varepsilon}{2} \hat{\sigma}_z + \frac{\delta}{2} \hat{\sigma}_x, |g\rangle_{\Phi_0/2} = \begin{pmatrix} 1 \\ 0 \end{pmatrix}, |e\rangle_{\Phi_0/2} = \begin{pmatrix} 0 \\ 1 \end{pmatrix}, \end{aligned} \quad (3.4)$$

где  $\varepsilon$  – расстояние между уровнями, а  $\delta = 4\pi\alpha E_J \delta\Phi / \Phi_0 \cdot C$ ,  $C = const$ . Последнее равенство перед (3.4) верно, так как при  $\Phi = \Phi_0/2$  диагональные матричные элементы равны нулю в силу нечетности оператора  $\sin(\pi - 2\phi)$  и симметрии волновых функций на Рис. 5, а элементы на побочной диагонали равны в силу самосопряженности этого оператора и действительности волновых функций как собственных для гамильтониана. Самосопряженность легко выводится из физического смысла данного оператора – это оператор тока через меньший переход  $\hat{I}_3$ . Равенство нулю его среднего значения в состояниях  $|g\rangle$  и  $|e\rangle$  при  $\Phi = \Phi_0/2$  означает, что в точке вырождения в кубите не течет незатухающий ток. Этим объясняется ослабление в таком режиме его взаимодействия со средой – кубит не создает полей.

Сокращенный гамильтониан (3.4) можно просто привести к диагональному виду. Его собственные значения и их разность будут зависеть от  $\delta$ , и, следовательно, от  $\Phi$  следующим образом:

$$E_{1,2} = \pm \frac{1}{2} \sqrt{\varepsilon^2 + \delta^2}, \quad \Delta E = h\nu_q = \sqrt{\varepsilon^2 + \delta^2}, \quad (3.5)$$

где  $\nu_q$  – это экспериментально наблюдаемая частота перехода между кубитными уровнями. Легко построить зависимость этой частоты от приложенного поля – это будет гипербола, причем по ее асимптотам можно вычислить

## Часть II

# Экспериментальная часть

## Часть III

# Результаты

## Часть IV

# Заключение

## Список литературы

- <sup>1</sup> Lloyd S. A potentially realizable quantum computer. // Science (New York, N.Y.). — 1993. — Vol. 261. — P. 1569–1571. (ссылка на стр. [2])
- <sup>2</sup> DiVincenzo D. P. Quantum Computation // Science. — 1995. — Vol. 270, no. 5234. — P. 255–261. — URL: <http://www.sciencemag.org/content/270/5234/255.abstract>. (ссылка на стр. [2])
- <sup>3</sup> DiVincenzo D.P. Prospects for quantum computing. — 2000. — P. 12–15. (ссылка на стр. [2])
- <sup>4</sup> Spiller T. P. Quantum information processing: cryptography, computation, and teleportation // Proceedings of the IEEE. — 1996. — Vol. 84. (ссылка на стр. [2])
- <sup>5</sup> Milburn G J. Photons as qubits // Physica Scripta. — 2009. — Vol. 2009, no. T137. — P. 14003. — URL: <http://stacks.iop.org/1402-4896/2009/i=T137/a=014003>. (ссылка на стр. [2])
- <sup>6</sup> Cirac J. I., Zoller P. Quantum computations with cold trapped ions // Physical review letters. — 1995. — Vol. 74, no. 20. — P. 4091. (ссылка на стр. [2])
- <sup>7</sup> Kane B. E. A silicon-based nuclear spin quantum computer // Nature. — 1998. — Vol. 393. — P. 133–137. (ссылка на стр. [2])
- <sup>8</sup> Rempe G. Cavity QED with single atomic and photonic qubits // Conference on Quantum Electronics and Laser Science (QELS) - Technical Digest Series. — 2008. (ссылка на стр. [2])
- <sup>9</sup> Devoret M. H., Martinis J. M. Implementing qubits with superconducting integrated circuits // Experimental Aspects of Quantum Computing. — 2005. — P. 163–203. (ссылка на стр. [2])

- <sup>10</sup> Devoret M. H. Quantum fluctuations in electrical circuits // Les Houches, Session LXIII. — 1995. — URL: [http://www.physique.usherb.ca/tremblay/cours/PHY-731/Quantum\\_circuit\\_theory-1.pdf](http://www.physique.usherb.ca/tremblay/cours/PHY-731/Quantum_circuit_theory-1.pdf). (ссылка на стр. [2])
- <sup>11</sup> Clarke J., Wilhelm F. K. Superconducting quantum bits. // Nature. — 2008. — Vol. 453, no. 7198. — P. 1031–42. — URL: <http://www.ncbi.nlm.nih.gov/pubmed/18563154>. (ссылка на стр. [2])
- <sup>12</sup> Superconducting persistent-current qubit / T. Orlando, J. Mooij, Lin Tian et al. // Physical Review B. — 1999. — Vol. 60, no. 22. — P. 15398–15413. — URL: <http://link.aps.org/doi/10.1103/PhysRevB.60.15398>. (ссылки на стр. [2, 7 и 11])
- <sup>13</sup> Charge insensitive qubit design derived from the Cooper pair box / J. Koch, T. M. Yu, J. Gambetta et al. — 2007. — P. 21. — 0703002. (ссылка на стр. [2])
- <sup>14</sup> Implementation of a quantum metamaterial using superconducting qubits. / P. Macha, G. Oelsner, J.-M. Reiner et al. // Nature communications. — 2014. — Vol. 5. — P. 5146. — URL: <http://www.ncbi.nlm.nih.gov/pubmed/25312205>. (ссылка на стр. [2])
- <sup>15</sup> Clarke J., Braginski A. I. The SQUID Handbook. — 2006. — Vol. 2. — P. 1–634. — ISBN: 9783527404087. (ссылка на стр. [3])
- <sup>16</sup> Resonance Fluorescence of a Single Artificial Atom / O. Astafiev, A. M. Zagoskin, A. A. Abdumalikov et al. // Science. — 2010. — Vol. 327, no. 5967. — P. 840–843. (ссылка на стр. [3])
- <sup>17</sup> Xia K., Vanner M. R., Twamley J. An opto-magneto-mechanical quantum interface between distant superconducting qubits. // Scientific reports. — 2014. — Vol. 4. — P. 5571. — arXiv:1407.2324v1. (ссылка на стр. [3])
- <sup>18</sup> Schrieffer J. R., Tinkham M. Superconductivity // Reviews Of Modern Physics. — 1999. — Vol. 71. — P. S313–S317. (ссылка на стр. [4])
- <sup>19</sup> Ginzburg V.L., Landau L.D. On the theory of superconductivity // Zh. Eksp. Teor. Fiz. 20, 1064. — 1950. (ссылка на стр. [4])
- <sup>20</sup> Josephson B. Coupled Superconductors // Rev. Mod. Phys. — 1964. — Vol. 36. — P. 216–220. (ссылка на стр. [5])
- <sup>21</sup> Golubov A. A., Kupriyanov M. Y., Il'ichev E. The current-phase relation in Josephson junctions // Reviews of Modern Physics. — 2004. — Vol. 76. — P. 411–469. (ссылка на стр. [5])
- <sup>22</sup> Quantum theory of three-junction flux qubit with non-negligible loop inductance: Towards scalability / T. Robertson, B. Plourde, P. Reichardt et al. // Physical Review B. — 2006. — Vol. 73, no. 17. — P. 174526. — URL: <http://link.aps.org/doi/10.1103/PhysRevB.73.174526>. (ссылки на стр. [8 и 11])

<sup>23</sup> Johansson R. Reproduce: Orlando et al., Phys. Rev. B 60, 15398 (1999). — URL: <http://nbviewer.ipython.org/github/jrjohansson/reproduced-papers/blob/master/Reproduce-PRB-60-15398-1999-Orlando.ipynb>. (ссылка на стр. [11])